

# 天井の耐震性に関する研究

## (その14) 曲げ捩り座屈耐力評価

正会員 ○小林 俊夫<sup>\*1</sup>

キーワード：耐震天井、Euler 座屈、捩り座屈

### 1. はじめに

耐震天井の性能高度化を目的としてプレース上部接続金具の耐力・剛性を高くした結果、接続部周辺が局所的に剛体的挙動をするようになったため、プレースの Euler 座屈が強制捩りを誘発し、その結果プレースが曲げ捩りで終局耐力となるケースが見られるようになった（前報その13）。

本報ではその現象を解析的に表現し、捩り座屈発生限界の評価方法を提案する。

### 2. エネルギーの釣り合いから求める座屈条件

#### 2.1 Euler 座屈の場合

両端ピンで部材長が L のプレースの座屈形状は

$$y(x) = a \sin(\pi/L)x \quad (\text{但し}, a \ll L) \quad (1)$$

で与えられる。図1を参考に、

$$dl^2 = dx^2 + dy^2$$

$$\rightarrow dl = \sqrt{dx^2 + dy^2} \approx (1 + (dy(x)/dx)^2/2) dx$$

を考慮し、Euler 座屈による支点間の縮み量  $\Delta L_1$  は

$$\begin{aligned} \Delta L_1 &= \int dl - L = \int \sqrt{dx^2 + dy^2} - L \\ &\approx \int (1 + (dy(x)/dx)^2/2) dx - L = \pi^2 a^2 / (4L) \end{aligned} \quad (2)$$

となる（図1参照）。

一方、長さ dx 間の歪エネルギー  $dE_E$  は(3)式で与えられる。

$$dE_E = (EI/2)(d^2y(x)/dx^2)^2 dx \quad (3)$$

ここに、E : ヤング率、I : 断面二次モーメント

全長での歪エネルギー  $E_E$  は(4)式となる。

$$\begin{aligned} E_E &= \int dE_E = \int (EI/2)(d^2y(x)/dx^2)^2 dx \\ &= \pi^4 a^2 EI / (4L^3) \end{aligned} \quad (4)$$

これらを用いて、外力がなした仕事と内部歪エネルギーの等値から Euler 座屈荷重  $P_E$  が(5)式で与えられる。

$$\begin{aligned} P_E \times \Delta L_1 &= \pi^4 a^2 EI / (4L^3) \rightarrow P_E \times \pi^2 a^2 / (4L) = \pi^4 a^2 EI / (4L^3) \\ P_E &= \pi^2 EI / L^2 \end{aligned} \quad (5)$$

#### 2.2 曲げ捩り座屈の場合

プレースの上下端とも捩りに対する反り拘束のない単純支持の場合に、上端に強制捩り( $M_T$ )を作用させた場合の捩り剛性を求める。

捩りの釣り合い式は(6)式で与えられる（文献1）参照）。

$$-d^3\eta(x)/dx^3 + \alpha^2 d\eta(x)/dx = M_T / (EC_w) \quad (6)$$

この捩り角  $\eta(x)$  に関する微分方程式の一般解は未定係数  $C_1, C_2, C_3$  を用いて(7)式となる。

$$\eta(x) = C_1 + C_2 \exp(\alpha x) + C_3 \exp(-\alpha x) + (M_T / (GJ_T))x \quad (7)$$

ここに、  $C_w$  : 反り捩り定数、  $J_T$  : サンブナン捩り定数、

$G$  : せん断弾性係数、  $\alpha = \sqrt{GJ_T / (EC_w)}$

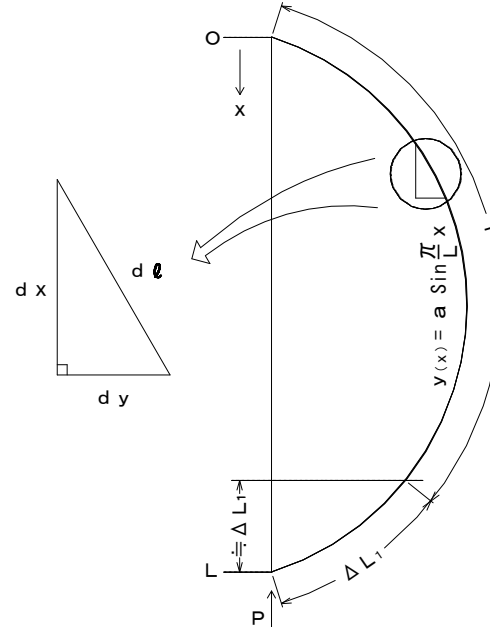


図1 Euler 座屈の変形モード

境界条件 ( $\eta(0) = 0, d^2\eta(0)/dx^2 = 0, d^2\eta(L)/dx^2 = 0$ ) より  $C_1 = C_2 = C_3 = 0$  となり、 $\eta(x)$  が(8)式のように得られる。

$$\eta(x) = (M_T / (GJ_T))x \rightarrow \eta_0 = \eta(L) = M_T L / (GJ_T) \quad (8)$$

これらを用いて、捩り剛性  $K_T$  が(9)式のように得られ、捩りによる内部歪エネルギー  $E_T$  は(10)式で与えられる。

$$K_T = M_T / \eta_0 = GJ_T / L \quad (9)$$

$$E_T = (1/2) K_T \eta_0^2 = (1/2) (GJ_T / L) \eta_0^2 \quad (10)$$

Euler 座屈のケースに倣い、曲げ捩り変形時の支点間の縮み量  $\Delta L$  を求める。

$$\eta(x) = (\eta_0 / L)x \rightarrow d\eta(x) / dx = \eta_0 / L \quad (11)$$

より、図3を参考にすると、

$$\begin{aligned} A_3 B_1^2 &= A_3 A_1^2 + A_1 B_1^2 = A_3 A_1^2 + AB^2 \\ &= A_3 A_1^2 + AC^2 + BC^2 \end{aligned} \quad (12)$$

であるが、

$$A_3 A_2 = A_3 A_2 + A_2 A_1$$

において

$$A_3 A_2 = \eta'(x) dx \times y'(x) dx = \eta'(x) \times y'(x) \times dx^2$$

となって、 $dx$  に関して 2 次の微小量となるので、

$A_3 A_2 \Rightarrow 0$  ( $dx \rightarrow 0$ ) 従って  $A_3 A_1 \Rightarrow C_2 C_1$  ( $dx \rightarrow 0$ ) となる。その結果、(12)式より

$$dl_1^2 = (y(x) \times d\eta(x))^2 + dx^2 + dy^2 \quad (13)$$

$$\begin{aligned} \Delta L &= \int dl_1 - L = \int ((y(x) \times d\eta(x)/dx)^2/2 + 1 + (dy/dx)^2/2) dx - L \\ &= \int ((y(x) \times \eta_0/L)^2/2) dx (= \Delta L_2) + \int ((dy/dx)^2/2) dx (= \Delta L_1) \\ &= \Delta L_2 + \Delta L_1 \end{aligned} \quad (14)$$

ここに、 $\Delta L_1$  : Euler 座屈による支点間の縮み量（前出）  
 $\Delta L_2$  : 頂部強制捩り( $\eta_0$ )による支点間の縮み量  
上記  $\Delta L_2$  の積分を実行すると(15)式が得られる。

$$\Delta L_2 = (\eta_0 a)^2 / (4L) \quad (15)$$

捩り座屈荷重  $P_T$  も外力がなした仕事と内部歪エネルギーの等値 ((16)式) から(17)式で与えられる。

$$P_T \times \Delta L_2 = E_T \rightarrow P_T \times (\eta_0 a)^2 / (4L) = (1/2)(GJ_T/L)\eta_0^2 \quad (16)$$

$$P_T = 2GJ_T/a^2 \quad (17)$$

Euler 座屈荷重より捩り座屈荷重が小さいとき捩り座屈が発生する。そのとき(18)式が成立する。

$$P_E > P_T \rightarrow \pi^2 EI / L^2 > 2GJ_T/a^2 \rightarrow a^2 > 2GJ_T L^2 / \pi^2 EI \quad (18)$$

捩り座屈発生時の Euler 座屈振幅  $a_c$  は(19)式で与えられる。

$$a_c = L \times \text{SQRT}(2GJ_T / (\pi^2 EI)) \quad (19)$$

### 3. 臨界係数と座屈振幅比

ここで、材料物性( $E, G$ )と断面形状( $I, J_T$ )のみで定まる係数  $\text{SQRT}(2GJ_T / (\pi^2 EI))$  を臨界係数  $Q$  と定義する。

$$\text{臨界係数 } Q = \text{SQRT}(2GJ_T / (\pi^2 EI)) \quad (20)$$

これを用いると(19)式より(21)式が得られる。

$$a_c = LQ \quad (21)$$

Euler 座屈モードにおける節点角  $\theta$  は  $\theta = dy(0)/dx = \pi a/L$  なので、捩り座屈が発生する臨界節点角( $\theta_c$ )は

$$\theta_c = \pi a_c / L = Q\pi \quad (22)$$

で与えられ、プレースの長さや設置角度には依存しない値となる。プレース材として用いられる主要な部材の臨界係数( $Q$ )と臨界節点角( $\theta_c$ )を表 1 に示す。

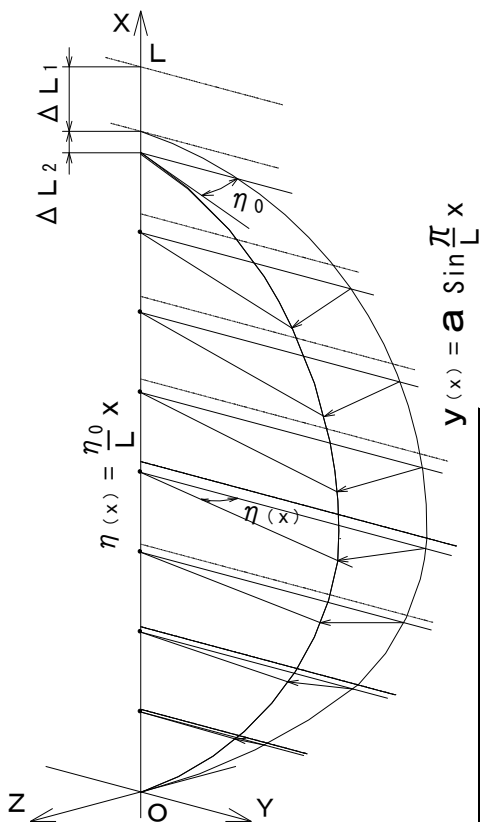


図 2 曲げ捩り座屈の変形モード（全体図）

\*1 桐井製作所 工学博士

Euler 座屈による中央部の曲げモーメントが弾性限モーメント  $M_{E_y}$  に達するときの座屈振幅を  $a_{E_y}$  とすると、

$$a_{E_y} = M_{E_y} / P_E = \sigma_y z / (\pi^2 EI / L^2) \quad (23)$$

ここで、座屈振幅比  $r$  を(24)式で定義する。

$$r = a_{E_y} / a_c \quad (24)$$

- (1)  $r < 1$  : ( $a_{E_y} < a_c$ ) の時、捩り座屈振幅  $a_c$  に達する前に Euler 座屈で降伏してしまうので、捩り座屈は発生しない。
- (2)  $r > 1$  : ( $a_{E_y} > a_c$ ) の時、捩り座屈振幅  $a_c$  より Euler 座屈降伏振幅  $a_{E_y}$  が大きいので、捩り座屈が発生する。  
捩り座屈発生限界( $r = 1$ )となる  $L = L_{min}$  を表 1 に示す。

### 4. おわりに

Euler 座屈がプレース端部に強制捩りを誘発するようなケースについて、臨界係数  $Q$  と座屈振幅比  $r$  を定義し、これらを用いて捩り座屈発生判定の試案を考察した。

参考文献 1) : 「建築の力学－弹性論とその応用－」、桑村仁、技報堂出版、2013 年 11 月 5 日 1 版 4 刷

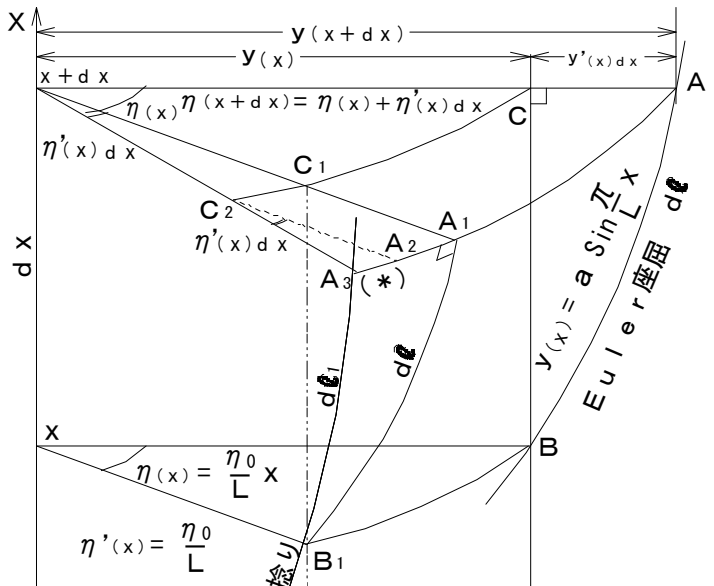


図 3 曲げ捩り座屈の変形モード（拡大図）

表 1 主要プレース材の曲げ捩り座屈特性

部材	断面積 モーメント $I_y$	断面2次 モーメント $J_T$	ねじり定数		臨界係数 $Q$	臨界節点角 $\theta_c$ ラジアン度	断面係数 $Z_y$	捩り座屈 限界長さ $L_{min}$	
			サン・ブラン	反りねじり					
	$\text{mm}^2$	$\text{mm}^4$	$\text{mm}^4$	$\text{mm}^6$					
CC-25	90.8	1064	80.3	2.549E+05	0.0768	0.2411	13.82	118.6	3485
CC-19	69.7	840	34.3	2.056E+05	0.0565	0.1775	10.17	91.7	2616
C-40 × 20 × 1.6	119.6	4643	104.9	1.218E+06	0.0420	0.1319	7.56	325.7	3028
AS-25	66.4	3154	23.0	1.800E+08	0.0239	0.0750	4.30	273.5	1392
LG 60 × 30 × 10 × 1.6	207.2	25527	182.4	8.282E+09	0.0236	0.0742	4.25	1316.7	2316
LG 60 × 30 × 10 × 2.3	287.2	33030	530.5	1.022E+10	0.0354	0.1113	6.37	1699.4	3482
LG 65 × 30 × 10 × 1.6	215.2	26270	189.2	8.984E+09	0.0237	0.0745	4.27	1330.0	2370
LG 65 × 30 × 10 × 2.3	298.7	34015	550.8	1.109E+10	0.0356	0.1117	6.40	1718.0	3561
LG 75 × 45 × 15 × 1.6	295.2	87050	257.5	8.538E+10	0.0152	0.0477	2.74	3132.0	2137
LG 75 × 45 × 15 × 2.3	413.7	116883	753.5	1.109E+11	0.0224	0.0705	4.04	4198.2	3160

$$E = 2.05E+05 \text{ N/mm}^2, G = 79000 \text{ N/mm}^2, Q = \text{SQRT}(2GJ_T/EI) / \pi, \sigma_y = 400 \text{ N/mm}^2$$